

防禦地点洪水量による多目的ダム操作の一手法

北海道大学 工学部 正員 ○ 山岡 勲
北海道大学 工学部 正員 藤田 睦博

1. 多目的ダム操作の理想と問題点

わが国のダムの貯水容量はダムの規模に対して比較的小さく、多目的ダムにおいては利水目的とも競合するので、その洪水調節待期容量は計画洪水量に対して余裕のあるものではない。一方洪水は貴重な水資源なのでこの有効な利用ということを考えると多目的ダムの操作は一定率放流方式 (fig. 1) が得策のようである。しかし 100 年生起確率というような計画洪水量に対して作られた操作規則を頻度の多い中小洪水に対して用いては、折衝の治水効果を發揮できないばかりでなく利水上も惜しい水资源を洪水待期期間という理由で無効に放流することになる。従って中小洪水には別途の操作方式がいる。さらにきめ細かい防災上の配慮をすれば、洪水諸量の大きさだけでなく洪水災害の始まる水位からピークに至るまでの時間 (flood to peak interval) をより長くすることも要求されよう。最適操作ということになれば種々の議論があると思うが、利水上は各洪水の後ではなくべく満水に近くなるように洪水を貯留し、ダムの安全上はこの貯留量が絶対に空虚容量をこえないようにし、治水上は下流洪水防禦地点の防災とともに居住者の生命財産を洪水災害から守るために最も好都合な形のハイドログラフに原洪水のそれを変形できればよいわけであろう。

自動操作についてもすでにゲート操作まで含む一定率放流方式による自動制御の実施例が市房ダム（九州地建）など¹⁾にあり、自動制御に関する発展の一環の問題点は最適操作に適応する放流量の決定計算部のプログラムにあると考えられる。今一つの問題点は、防禦地点は概してダム地点よりかなり下流にあるということで、ダムにより調節できる洪水諸量は相対的に小さいので、この場合 下流地点のハイドログラフを水文、水理モデル（電算機使用）によって迅速に算定してそのピーク部分に対する調節を行なう不定率放流方式でなければ有効な機能を果せないと思われる。

2. 追值制御二方式の提案

上述の諸条件を考えて筆者らは、(1) 方式として一定率放流ではあるがこの率を各洪水ケースごとに待期容量を十分有効に使えるように変化させる方式を探り、安全回路とする。これは大洪水や他流域からの雨量資料が入らない場合に用いる。平常用い(2) 方式としては、流域別降雨資料をもとに下流防禦地点の洪水ハイドログラフ $Q_d - t$ を試算し、ダム放流比 $\alpha = dO/dI$ を $\alpha = f(Q_d)$ とする水越³⁾の試算を簡単化した α 折線群 ($Q_d < Q_{dl}$ (無害流量) で $\alpha = 1$, $Q_d \geq Q_{du}$ (計画洪水量) で $\alpha = 0$ とする) を設定し (fig. 5), 各洪水ケースごとに(4) の洪水による貯留量 $V_s \leq V_c$ (ダムの空虚容量) の等号に近い α 折線を選択する方式²⁾⁴⁾を提案した。何れの折線でも Q_d とともに α は変わることから一種の不定率放流方式で、この本回路は中小洪水用である。

多目的ダムの自動制御形式として市房ダムなどは定值制御、フログラム制御によるものだが、本提案方式は追値制御によるもので、(1), (2)両方式とも目標値が時間の未知数である。

(1) 方式： 一般的の一定率放流方式は fig. 1 に示されるが、 $\alpha = dO_e/dI_e$ を一洪水中に定数とする

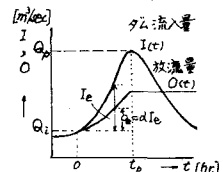


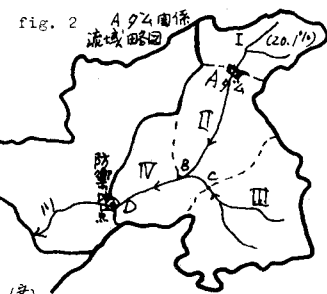
fig. 1

$$O(t) = \alpha \cdot I_e(t) + Q_i \quad 0 \leq t \leq t_p \\ = \alpha \cdot I_e(t_p) + Q_i \quad t > t_p \quad \} \dots (1)$$

$V_s(t)$ と、 t 時刻によるダム貯留量、ダムの $t=0$ における空虚容量(待期容量)を V_c とすれば、

$$V_s(t) = \int_0^t \{ I_e(t) - O(t) \} dt = \int_0^{t_p} \{ I_e(t) - \alpha \cdot I_e(t) - Q_i \} dt \\ \text{いま、} \quad V_s(t) = \int_0^t \{ I_e(t) - Q_i \} dt = \int_0^{t_p} I_e(t) dt + \int_{t_p}^t \{ I_e(t) - \alpha \cdot I_e(t_p) - Q_i \} dt \dots (2) \\ V_A = \int_0^{t_p} I_e(t) dt - \int_{t_p}^t I_e(t) dt \dots (3)$$

fig. 3 Aダム自動操作系統図(案)



とおくと、
 $V_s(t) = V_r(t) - \alpha V_A \dots (4)$

洪水終了時 $t=t_p$

$$V_s \leq V_c \dots (5)$$

右3条件を(4)式

に入ると、(時池)

$$\alpha \geq \frac{V_r - V_c}{V_A} \dots (6)$$

(6)式の右辺は I_e が与えられれば計算でできるので、洪水後は満杯となる如き α が求まる。 $\alpha < 0$ をする場合は

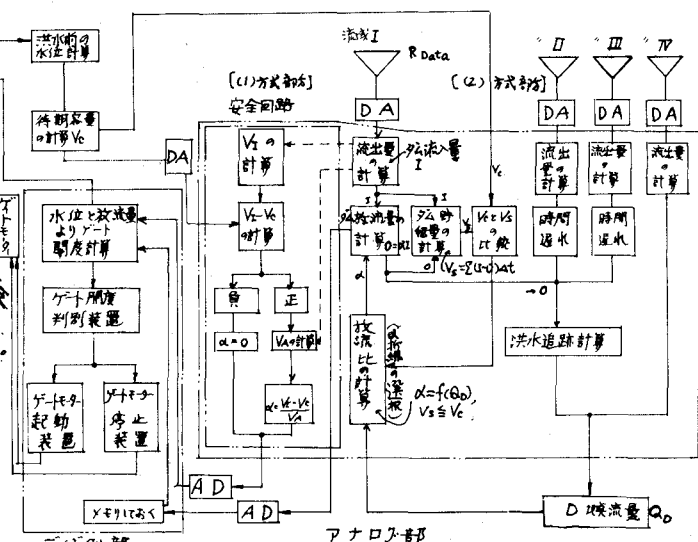
$(V_r - V_c) < 0$ は、ダムで流入量を全部貯留してもよ

場合ゆえ $\alpha = 0$ とする。いま fig. 2 の如き流域における Aダムによる D地点防禦の例に

適用すれば、fig. 3 に示される自動操作系統図のうちの安全回路の部分が(6)式の計算部で、一般的一定率放流方式(市房など)には加えて α の判断回路が組みこまかれている。

これは fig. 2 の如く D地点の流域面積が Aダムの $\times 4$ の4倍にもなると、上流と下流また各流域別に降雨の構造も異なり、ダム上流側の情報のみで α をきめる(1)方式では必ずしも $Q_d \sim t$ の $t^{0.7}$ α_{AD} を最適にカットすることは期待できない。ここで(2)方式が有効である。

(2)方式: fig. 2 に対する操作系統図は fig. 3 であるが、この右半分が(2)方式に対する部分である。各流域(I~IV)の降雨データをロボット雨量計からのデジタルテレメータでハイブリッド



Aダム洪水調節流量計算プログラム(本計算に使用)

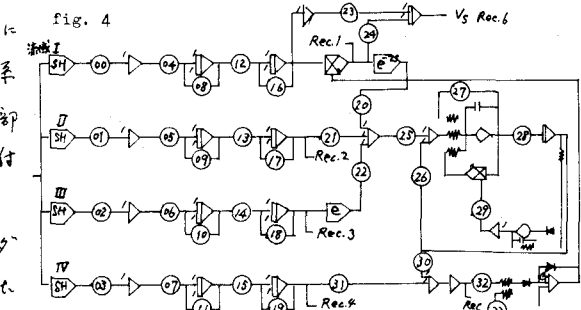
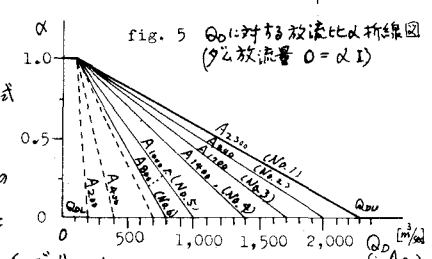


fig. 5 Q_d に対する放流比分析線図
(放流量 $Q = \alpha I$)



電算機回路に受信すると、水文水理モデルによってD地点よりハイドログラフが計算される。

(この例では降雨流出はユニットグラフ法、洪水進路は時間遅れ、マスキンガム法を用いる)。

この Q_D の実数としてフィードバック回路を入れて α を決定する方式である。 $\alpha = f(Q_D)$ (7)

fig. 4 はこの部分のアナログ電算機のプロトグラムが示される。

$$O = \alpha I + \dot{I}, \quad V_s = \int_0^t (1-\alpha) I dt \quad \dots \dots (8)$$

これを洪水が終るまで計算して、(5)式と同様な条件を与える。 $V_c \geq V_s \quad \dots \dots (9)$

もしもここでは $V_c > V_s$ がすぎたからも人工湛水をおこさないという制限をつけ得る。 $I \geq 0 \quad \dots \dots (10)$

fig. 9

：で筆者らは(8)式の関係の α の具体化としては計算の簡単化のため fig. 5 のような折線群を設定した。fig. 5 は fig. 2 に対する 1 例で $Q_{DL} = 100 [m^3/sec]$ と $Q_{DU} = 2300 [m^3/sec]$ を直線で結んで α と Q_D を折線で A_{2300} （ s は No. 1）とし、以下 $\alpha = 0$ に在る Q_D を減らしていく A_{200} （No. 1~6）とした。 α 折線の選択はタム

に余裕があれば直角三角形を意りでせるわけで $V_s < V_c$ の条件の範囲内で最も急なこの両のものを採用すればよい。つまり洪水ごとにどの折線を使つかを、降雨構造とそのときの V_c によってきめるわけである。fig. 3 では fig. 4 の部分のはが情報の処理や 3 口ゲートで計算された結果をゲート操作の制御信号として扱う部分はディジタル計算機が受けもつ。タム直下の放流量に制限のある場合につつても fig. 4 にコレハドレーテリリーレを付加して計算を行なった。

3 α の決定方法

前節の(2)方式で

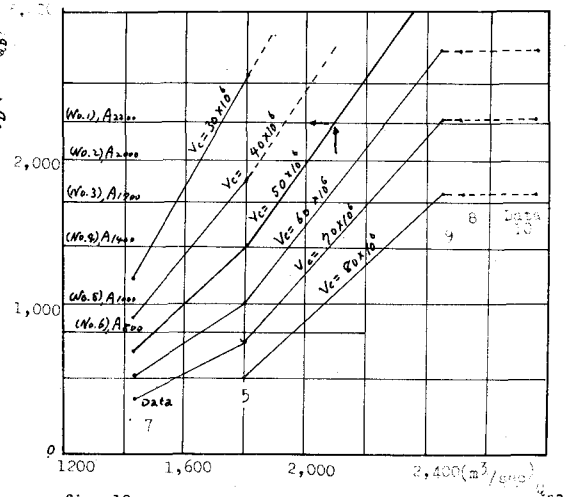
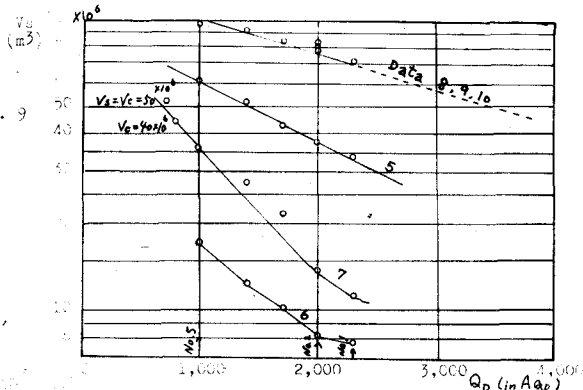
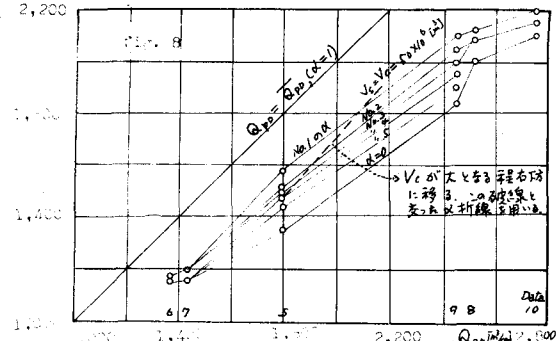
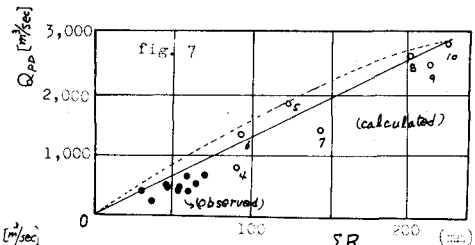
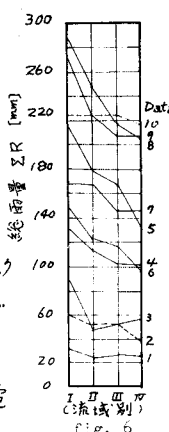


fig. 10

実際に操作を行なう場合、現時点では α の追従まで電算機にまかせる（ α の傾斜角を試算的につけて行く）よりは、経済的理由からも次のような図表による手法が便利である。たとえば fig. 2 の例では、予め fig. 6 のように各流域別にパラエティルとともに 100 年から 1 年生起確率に亘る 10 隆雨例をえらび、これに対する Q_{pd} (Q_d のピーカー) を fig. 7 のように図示しておく。次に fig. 5 の各 α 折線を使って fig. 4 で計算（主要部分は北大、日立 ALS 2000 ナロゲ電算機使用）した結果を Q_{pd} と洪水調節後の Q_{pd} の関係として示す (fig. 8)。fig. 8 より $V_s - Q_d$ (in A_{pd}) を求めて fig. 9 に圖示し、これから容易に Q_d (A_{pd} における) と Q_{pd} の関係図 (fig. 10) が得られる。これは fig. 7 で ΣR より予めは握られて Q_{pd} の値によらずどの α 折線を採用してもその上に便利である。fig. 10 は V_s がパラメータとなっていき。

4. 計算例 流域面積 1700 km²

D 地点に対するダム地点のそれに対する 20% τ

ある fig. 2 のに対する計算を行なった結果の一部が fig. 8 に図示されているが、fig. 11 はそのうちの雨量 Data 5 (fig. 6) の場合で α 折線は A_{pd200} (No. 1) (fig. 5) を用いた場合の計算結果の原図を示す。I-t 図、 $Q_d - t$ 図、 $\alpha - t$ 図、 $V_s - t$ 図は時刻を対応させてある。 Q_d のハイドログラフと Q_{pd} の時刻に相応する矢印が矢印で付してあるが、 α はこのとき最大となる加工のピーカーはこれより大分早い (fig. 6 からもダム流域が降雨量大なることよく相応している) 例ゆえ α の集められた I の値が低減していくもので I-0 は最大ではなくおこる水平の矢印で示されるようになる。矢印は前時刻に最大が生じ V_s 曲線の変曲点の矢印と対応することなどが興味をもたせる。この状態では fig. 4 は十分実用的なモデルであると認められ。

[本研究は協力いたたひ北海道開発局旭川の各位に感謝する。この一部は文部省科学研費(特定研究(深割)、研究費回数)によることを付記する。参考文献] 1) 市房ダムの自動洪水調節装置、(月刊) 日立、第 26 卷第 8 号、1964

- 2) 山岡 順：多目的ダムの自動制御について、土木学会北海道支部講習会テキスト、昭 43・3
- 3) 水越三郎：ダムによる洪水処理方式に対する 2, 3 の試案、土木技術資料、第 7 卷第 4 号、^(完全)1965
- 4) 山岡 順、藤田時博：洪水調節ダムの最適操作方式に関する基礎的研究、第 4 回災害科学シンポジウム論文集、仙台、1967